

تقييم النشاط الإشعاعي الطبيعي في عينات من السيراميك والبورسلين باستخدام كاشف الجermanيوم عالي النقاوة (HPGe)

فاضل عز الدين الشريف^{1*} ، عائشة عبدالله² ، مسعودة محمد الشواح³

¹ الأكاديمية الليبية - طرابلس

²جامعة صبراته

³مركز القياسات الإشعاعية

*E.mail:fadel.sharif@academy.edu.ly

الملخص: أجريت هذه الدراسة لتحديد مستويات تركيز النشاط الإشعاعي الطبيعي لعدد 30 عينة تجارية مختلفة لبلاط كل من السيراميك والبورسلين وذلك باستخدام مطيافية أشعة جاما التي تتضمن كاشف الجermanيوم عالي النقاوة. أظهرت نتائج الدراسة أن مستويات تركيز النشاط الإشعاعي الطبيعي لكل من K^{40} , Th^{232} , Ra^{226} ، تراوحت من 34.181 Bq/Kg إلى 143.49 Bq/Kg ، ومن 25.132 Bq/Kg إلى 93.426 Bq/Kg ، ومن 251.40 Bq/Kg إلى 1283.74 Bq/Kg على التوالي. بالإضافة إلى ذلك، تم تقييم المخاطر الإشعاعية الناتجة عن التعرض للإشعاع الطبيعي للعينات وذلك من خلال حساب مكافئ الراديوم، ومعدل الجرعة الممتصة في الهواء، ومعدل الجرعة الفعالة السنوية، وكذلك حساب مؤشر الخطر الخارجي والداخلي. تم حساب نشاط مكافئ (Ra_{eq}^{226}) وكانت القيم المحسوبة أقل من القيمة الموصي بها من قبل منظمة التعاون الاقتصادي والتنمية والبالغة 370 Bq/Kg . كما أظهرت النتائج أن قيم معدل الجرعة الممتصة لجميع العينات كانت أعلى من القيمة الموصي بها عالمياً وبالنسبة لبعض العينات المدروسة كانت أقل من القيمة الموصي بها وهي 1 mSv/y . أوضحت النتائج أن قيم مؤشر الخطر الخارجي (H_{ex}) تقع ضمن القيمة الموصي بها عالمياً أي أقل من الواحد، بينما قيم مؤشر الخطر الداخلي (H_{in}) لعينة بورسلين سعودي المنشأ، وكذلك بعض عينات السيراميك المستورد من الجزائر وتونس كانت أعلى من الواحد.

الكلمات المفتاحية : السيراميك ، البورسلين ، النشاط الإشعاعي ، معدل الجرعة ، الجرعة الفعالة ، مؤشرات الخطر

Evaluation of natural radioactivity in ceramic and porcelain samples using a high-purity germanium detector (HPGe)

Fadel Al-Sharif^{1*}, Aisha Abdullah², Masouda Al-Shalwah³

1. Physics department of Libyan Academy - Tripoli- Libya

2. Physics department of Sabratha University,Sabrathe - Libya

3. Radiation Measurements Center- Tripoli -Libya

*E.mail:fadel.sharif@academy.edu.ly

Abstract: This study was conducted to determine the natural radioactivity concentrations of 30 different commercial samples of ceramic and porcelain tiles using gamma ray spectrometry with a high-purity germanium detector. The results of the study showed that the natural radioactivity concentrations of 226 Ra , 232 Th , and 40 K ranged from 34.181 Bq/kg to 143.49 Bq/kg , 25.132 Bq/kg to 93.426 Bq/kg , and 251.40 Bq/kg to 1283.74 Bq/kg , respectively. The radiation hazards resulting from natural radiation exposure of the samples were evaluated by calculating the radium equivalent, the airborne absorbed dose, the annual effective dose, and the outdoor and indoor hazard index. The radium-226 equivalent activity (Ra_{eq}) was calculated, and the calculated values were lower than the OECD recommended value of 370 Bq/kg . The results also showed that the absorbed dose rate values for all samples were higher than the internationally recommended value of 55 nGy/h . The annual effective dose rate values for all studied samples were lower than the recommended value of 1 (mSv)/y . The results showed that the external hazard index (H_{ex}) values were within the internationally recommended value, i.e., less than one, while the internal hazard index (H_{in}) values for a Saudi-made porcelain sample, as well as some ceramic samples imported from Algeria and Tunisia, were higher than one.

والحجر الجيري والجبس، وما إلى ذلك تُعرف على أنها مواد تحتوي على التريودات المشعة الطبيعية، بما في ذلك اليورانيوم ^{238}U ، والثوريوم ^{232}Th ، ونواتج انحلالهما، والبوتاسيوم المشع K^{40} . التريودات المشعة ليست موزعة بشكل موحد، ويمكن أن تختلف اختلافاً كبيراً وفقاً لجيوโลجيا المواد الخام، ومن ثم فإن معرفة النشاط الإشعاعي الطبيعي في مواد البناء مهمة لتحديد تعرّض السكان للإشعاعات، ويؤدي مستوى النشاط الإشعاعي في بلاط السيراميك كباقي مواد البناء الأخرى إلى التعرّض الخارجي والداخلي حيث أن التعرّض للإشعاع الخارجي ينبع عن إشعاع جاما الناتج من الراديوم ^{226}Ra

1. المقدمة

يتعرّض البشر باستمرار للإشعاع الطبيعي ويعود السبب في ذلك إلى نشاط التريودات المشعة الموجودة في سلاسل انحلال اليورانيوم ^{238}U والثوريوم ^{232}Th ونظير البوتاسيوم المشع K^{40} ومنتج الانحلال الإشعاعي التي يمكن العثور عليها في الصخور، والخامات المعدنية، وفي تجهيزات البناء، والهواء، والماء، وكذلك في جسم الإنسان، وبعد إشعاع جاما الذي يتم إطلاقه بواسطة التريودات المشعة المنتجة بشكل طبيعي أخطر مصدر ضار لجسم الإنسان [1]. مواد البناء مثل الطوب والخرسانة والسيراميك والأسمنت والرخام والجرانيت

كتافة مقاربة لكل العينات المطحونة. المرحلة الثانية فهي عملية تجفيف العينات من الرطوبة وذلك من خلال وضعها في فرن كهربائي عند درجة حرارة $70k$ ولمدة 24 ساعة ومن ثم ترك حتى تبرد. أما المرحلة الثالثة فهي مرحلة تعبأ وتخزين العينات في أكواب مارينيلي Marinelli مع الحرص على غلقها بإحكام بواسطة شريط لاصق خاص وذلك لمنع تسرب غاز الرادون للعينات، ومن ثم تم وزن كل عينة عن طريق ميزان إلكتروني حساس. ومن أجل الوصول إلى حالة الاتزان الإشعاعي تخزن العينات لمدة لا تقل عن 27 يوماً تقريباً وذلك للسماح لمعدل تفكك التوبيدات الأينة بأن يكون نفس معدل التوبيدات الأول [8].

ثانياً: منظومة القياس

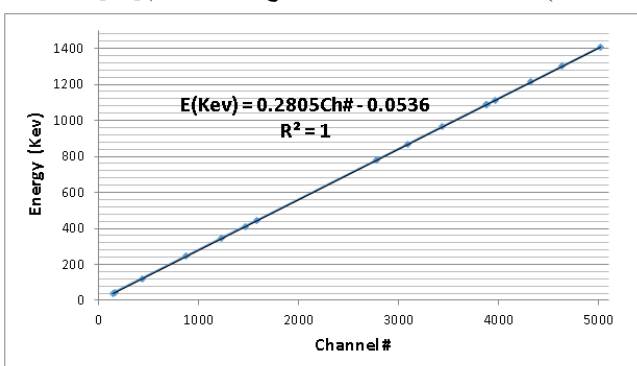
في هذه الدراسة تم استخدام مطيافية أشعة جاما العالية الدقة بمركز القياسات الإشعاعية طرابلس لقياس تركيز النشاط الإشعاعي في عينات السيراميك والبورسلين. وت تكون منظومة القياس من كاشف من مادة الجرمانيوم العالي القواة (HPGe) نوع P صنع شركة (ORTEC) حجم بلورته $3 \times 3\text{inch}$ له قابلية فصل طيفي قدرها 1.85keV عند خط الطاقة 1.33MeV وذو كفاءة 30% لأشعة جاما الصادرة من المصدر القياسي نظير الكوبالت المشع Co^{60} ويعمل بفولتنية تشغيل 4000V ويرد الكاشف أثناء عمله إلى درجة حرارة $77K$ عن طريق استخدام أسطوانة ملؤة بالنيتروجين السائل وبخط الكاشف بدرع أسطواني رئيسي من الرصاص وذالك للتقليل من الخلفية الإشعاعية ويحصل الكاشف بمضخم الإشارة الابتدائي ومضموم رئيسي وبجهاز الحاسوب الذي يتضمن محل متعدد القنوات لتسجيل وتخزين وتحليل طيف أشعة جاما.

ثالثاً: معايرة القياس

من أجل تحديد كمية النظائر الموجودة في العينات يجب إجراء نوعين من المعايرة وهم معايرة الطاقة ومعايرة الكفاءة، كما موضح في الشكل (1)، ويتم ذلك من خلال استخدام عينات قياسية ذات نشاط إشعاعي معروف ومحكم، ويتم إجراء عمليات معايرة التحليل الطيفي هذه من أجل قياس نسبة الإشعاع من إجمالي الإشعاع المنبعث من النظائر التي يتم تسجيلها بواسطة الكاشف [9].

المعايرة الطاقة

معايرة الطاقة هي العملية التي يتم فيها إقامة علاقة بين القنوات وطبقات أشعة جاما المقابلة في الطيف [10]. وتتم معايرة الطاقة للمنظومة بواسطة المصادر المشعة وذلك لتحويل رقم القناة إلى مقياس الطاقة قبل استخدامه في الكشف عن الإشعاع في العينات المختلفة بمطيافية أشعة جاما [11]. وفي هذه الدراسة قد تم استخدام عنصر الأوربيوم ^{152}Eu كمصدر مشع قياسي لإغراض معايرة الطاقة كما يوضحه الشكل (1). إن السبب من استخدام عنصر ^{152}Eu يرجع لنطاقه الواسع من الطاقات، $244,344,411,779,964,1112$ و 1408Kev ونصف عمره الطويل تسبباً بالبالغ 13.542 عام [12].



شكل رقم 1- يوضح معايرة الطاقة والاستجابة الخطية لكاشف (HPGe).

والثوريوم ^{232}Th ونواتج انحلالهما وكذلك من النظير المشع للبوتاسيوم ^{40}K ، وبينما التعرض الداخلي للإشعاع والذي يؤثر بشكل أساسي على الجهاز النفسي يعود إلى نواتج الأضمحلال قصيرة العمر لغاز الرادون الذي يتبعد عن مواد البناء إلى هواء الغرفة [3,2]. بلاط كل من السيراميك والبورسلين أصبح شائع الاستخدام في معظم المنازل كنوع من الديكور الداخلي للجدران خاصة في دورات المياه والمطابخ، وكذلك في المباني الأخرى مثل المراكز الصحية والمخابرات ومرافق العامة وغيرها. يتكون السيراميك والبورسلين من مكونين رئيسيين وهما: جسم (هيكل) البلاط، وطلاء البلاط اللامع. حيث يشتغل جسم البلاط من معادن الطين التي يتم استخراجها من قشرة الأرض وفي الغالب يتم إنتاجها بنقاوة متغيرة، وبينما يتكون طلاء البلاط اللامع غالباً من طبقة واحدة أو أكثر بسمكة إجمالية تتراوح بين 75 إلى 500 ميكرون تغطي الجانب السطحي للبلاط، هذه المادة عبارة عن مادة زجاجية مكونة من مواد خام غير عضوية مع ثانوي أكسيد السيليكون (SiO_2) والذي يعرف أيضاً باسم السيليکا كمكون رئيسي وبعد الكاولين هو ثاني أكبر مكون في طلاء البلاط، ويتم استخدامه لحفظ على جزيئات المينا في حالة تعليق كما يعده الفلسبار مصدر للبوتاسيوم والصوديوم، ويعمل كمادة متقدمة لتقليل ذوبان الصقيل (المادة المتقدمة هي المادة التي تعمل على تقليل درجة انصهار مادة أخرى). وغالباً ما يستخدم رمل الزركون (ZrSiO_4) في صناعة السيراميك كمادة مضافة إلى المواد المستخدمة في صناعة الطلاء الزجاجي، وذلك بسبب خاصية الملعان لسلسلة اللانتانوم، ومن السهل اختراق اليورانيوم واحتيازه في شبكة بلورة الزركون [5,4]. اضافة الزركون لبلاط السيراميك يعزز بشكل كبير من تركيز النشاط الإشعاعي الطبيعي مقارنة بمتوسط قيم قشرة الأرض [7,6]. ولمنع مكونات السيراميك من امتصاص السوائل، فإنه يتم تطبيقة منتجات السيراميك بطبقة زجاجية تسمى الطلاء الزجاجي، كما أن هذه الطبقة تسهل من عملية التنظيف ويختلف السيراميك عن البورسلين من حيث المكونات فالسيراميك يتكون من منتجات الطين وزجاج السيليكات والاسمنت، بينما البورسلين يتكون من الزجاج غير السيليكات والكريبيات (SiC) والاكسيدات (Al_2O_3) والنيتربيات (Si_3N_4) والعديد من الانواع الاخر [5,4].

2. طريقة العمل

أولاً: جمع العينات

وقد تم جمع 30 عينة عشوائية كلها مستوردة ماعدا عينة واحدة محلية الصنع، واستهدفت عملية الجمع أكثر العينات طبلاً من قبل المستهلكين، وتم فرز العينات بحيث صنفت كل عينة حسب البلد والشركة المصنعة ونوعها ومقاسها. أسماء عينات السيراميك والبورسلين المستوردة من تونس والبالغ عددها 5 عينات هي (CW-17,CW-23,CW-30,SW-1,SW-2)، بينما أسماء العينات المستوردة من مصر وعدها 13 عينة هي (- CW-3,CW-7,CW-8,CW-13,CW-15,CW-18,CW-19,CW-22,CW-24,CW-26, CW-27,CW-28,CW-29) ، أما أسماء العينات المستوردة من السعودية والبالغ عددها 2 هي (SW-6,CW-4) ، أسماء العينات المستوردة من الهند والبالغ عددها 3 هي (SW-5,CW-11,CW-14) ، أسماء العينات المستوردة من الجزائر والبالغ عددها 5 عينات هي (- CW-9,CW-10,CW-16,CW-20,CW-25) ، أما العينة المستوردة من اسبانيا فهي (SW-12) ، اسم العينة محلية الصنع من السيراميك فهي (CW-21).

بعد نقل العينات للمعمل تم تكبير العينات إلى أجزاء صغيرة ومن ثم تم طحن جميع العينات بواسطة آلة الطحن إلى مسحوق ناعم وغربلتها من خلال غربال يدوي تقويه ذات قطر $600\mu\text{m}$ ، وبعد غربلة كل عينة يتم تنظيف الغربلة استعداداً لغربلة عينة أخرى، ومن ثم يتم تعبئة كل عينة في كيس بلاستيكي خاص، وكتابية البيانات الخاصة بكل عينة على الكيس، وتأتي عملية الغربلة هذه من أجل الحصول على حبيبات متجانسة في القطر، وبالتالي نحصل على

$$RA_{eq}(\text{Bq/kg}) = A_{Ra} + 1.43 A_{Th} + 0.077 A_K \quad (3)$$

A_{Ra} : تركيز النشاط المحدد لعنصر الراديوم ^{226}Ra . A_{Th} : تركيز النشاط المحدد لعنصر الثوريوم ^{232}Th . A_K : تركيز النشاط المحدد لعنصر البوتاسيوم ^{40}K [13].

بـ- معدل الجرعة الممتصة

معدل الجرعة الممتصة الخارجية D والناتجة عن المواد المشعة ^{226}Ra و ^{232}Th و ^{40}K في الهواء على ارتفاع واحد متر فوق سطح الأرض يتم حسابها بوحدة (n Gy/h) أي نانو جراي لكل ساعة وذلك باستخدام المعادلة(4).

$$D(\text{n Gy/h}) = 0.427 A_{Ra} + 0.662 A_{Th} + 0.043 A_K \quad (4)$$

A_{Ra} و A_{Th} و A_K تركيز النشاط المحدد (Bq/kg) لكل من ^{226}Ra و ^{232}Th و ^{40}K على التوالي [13].

جـ- الجرعة الفعالة السنوية

من الممكن تعريف الجرعة الفعالة السنوية على أنها المعامل الإشعاعي المستخدم في الحكم على مدى الآثار الصحية الناتجة عن الجرعة الممتصة ووحدة قياسها (mSv/y) [8]. ويمكن حساب مؤشر الجرعة الفعالة السنوية من: المعادلة (5).

$$AED(mSv/y) = D \times O \times CF \times 10^{-6} \quad (5)$$

D: معدل الجرعة الممتصة. O: هو إجمالي الوقت الذي يقضيه الأفراد بالداخل. CF: هو عامل التحويل بين الجرعة الممتصة في الهواء والجرعة الفعالة التي يتلقاها الشخص البالغ ويساوي (0.7Sv G/y). يتم حساب O من المعادلة (6).

$$O = 0.8 \times 24 \text{ h/d} \times 365.25 \text{ d/y} \quad (6)$$

القيمة 0.8: تستخدم كمتوسط الوقت الذي يقضيه الأفراد بالداخل. h : الزمن بالساعة. d : الزمن باليوم. y: الزمن بالسنة.

دـ- مؤشر الخطير الخارجي

وهو مقياس مهم لتقدير مخاطر الإشعاع ويستخدم لوضع حد 1.5mSv على جرعة الإشعاع من مواد البناء في المبني ويتم حساب مؤشر الخطير الخارجي من المعادلة (7).

$$H_{\text{Ex}} = \frac{A_{Ra}}{370\text{Bq/kg}} + \frac{A_{Th}}{259\text{Bq/kg}} + \frac{A_K}{4810\text{Bq/kg}} \quad (7)$$

يجب أن تكون H_{Ex} في حدود أقل من الوحدة للاستخدام الآمن لمواد البناء في المساكن [13].

وـ- مؤشر الخطير الداخلي

على التقىض من مؤشر الخطير الخارجي ولأن الرادون ^{222}Rn وابعاته قصيرة العمر تشكل خطراً على الرئتين، فإنه يتم تحديد التفاعل الداخلي بين الرادون وابعاته الثانوية بواسطة مؤشر الخطير الداخلي H_{in} باستخدام المعادلة (8).

$$H_{\text{in}} = \frac{A_{Ra}}{185\text{Bq/kg}} + \frac{A_{Th}}{259\text{Bq/kg}} + \frac{A_K}{4810\text{Bq/kg}} \quad (8)$$

من أجل الاستخدام الآمن لمواد البناء يجب لا يكون الخطير الداخلي أعلى من الوحدة [14,1].

4. النتائج والمناقشة

بعد تجهيز مطيافية أشعة جاما مع كاشف الجرمانيوم عالي النقاء ومعيارتها بالطريقة التي تم ذكرها آنفًا تم تحليل عينات السيراميك والبورسلين بحيث وضعت كل عينه منفردة في المكان المخصص لها ولزمن قدره 86400s (أي لمرة يوم واحد) وذلك لغرض تسجيل الطيف الناتج وتخزينه في الحاسوب وتحليله بواسطة برنامج خاص يدعى Gamma Vision .

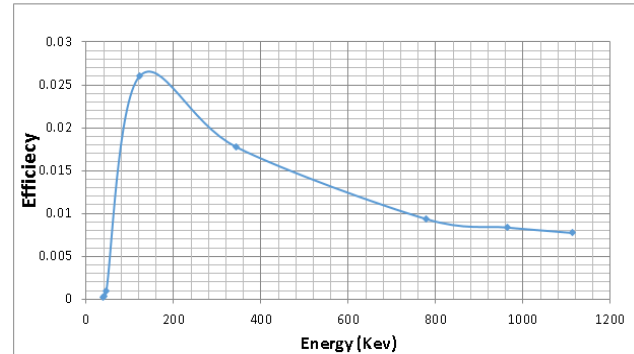
أولاًـ - قياس تركيز الاليورانيوم ^{238}U

بـ- معايرة الكفاءة

تشير كفاءة الكاشف إلى قدرة الكاشف على اكتشاف وقياس إشعاعات جاما المنبعثة من مصدر مشع بدقة [11]. ومن الممكن تعريف كفاءة الكاشف على أنها النسبة بين عدد النبضات التي يسجلها الكاشف إلى عدد الفوتونات المنبعثة من المصدر المشع، ومن خلال هذا التعريف يمكن التعبير عن معايرة الكفاءة رقم (1) [12].

$$(E_\gamma) = \frac{\text{Net}}{A \times I_\gamma(E_\gamma) \times T} \times 100\% \quad (1)$$

(E_γ) : كفاءة الكاشف. Net : صافي مجموع المعدودات تحت القمة الضوئية. T: زمن جمع المعدودات. I_γ : الشدة النسبية لكل طاقة من طاقات المصدر المشع. A : نشاط المصدر المشع أثناء القياس. ولغرض معايرة الكفاءة تم استخدام نفس المصدر المشع وهو عنصر الأوريبيوم (^{152}Eu) معلوم الفاعلية الإشعاعية. وقد تم الحصول على طيف معايرة الكفاءة لمدة 86400s والشكل (2) يوضح منحنى معايرة الكفاءة.



شكل رقم 2- يوضح منحنى الكفاءة لكاشف (HPGe) دالة لتغير طاقة أشعة جاما.

2. الحسابات

أولاًـ- حساب تركيز النشاط الإشعاعي الطبيعي يتم حساب تركيز النشاط الإشعاعي الطبيعي (Bq/kg) A للنويدات المشعة الطبيعية في العينات باستخدام المعادلة (2) [13].

$$A = \frac{C}{Pmt\epsilon} \quad (2)$$

C: العدد الصافي فوق النشاط الإشعاعي في الخلفية. P: احتمال انبعاث أشعة جاما. m: كتلة العينة. t: هو زمن تحليل أشعة جاما. ϵ : كفاءة الكاشف.

ثانياًـ- تقييم المخاطر الإشعاعية لتقدير المخاطر الإشعاعية اقترح باحثون سابقون استخدام عدد من المؤشرات وذلك لغرض تقييم المخاطر الإشعاعية المرتبطة باستخدام مواد البناء في المبني ومن أكثر المؤشرات شيوعاً واستخدمة في الحساب هي الصيغة التالية:

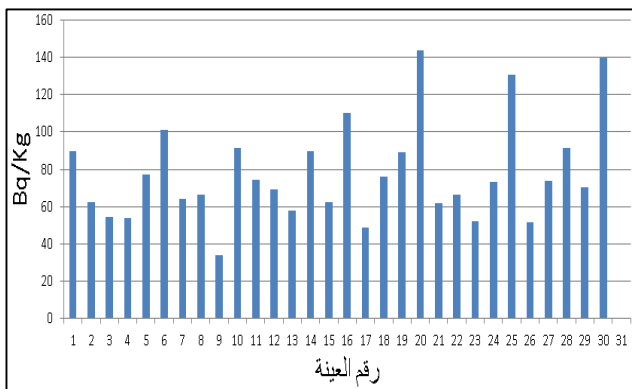
أـ- انشطة مكافئ الراديوم

نظرأً للتوزيع غير المنتظم للنويدات المشعة في العينات فإنه يتم استخدام نشاط مكافئ الراديوم والذي يرمز له بالرمز RA_{eq} كمعامل قياس إشعاعي مشترك لضمان التوزيع المنتظم للنويدات المشعة من الراديوم ^{226}Ra والثوريوم ^{232}Th والبوتاسيوم ^{40}K بناء على افتراض أن ^{226}Ra من 370Bq/kg و ^{232}Th من 259Bq/kg و ^{40}K من 4810Bq/kg ينتج نفس معدلات جرعة إشعاع جاما وعليه يتم حساب نشاط مكافئ الراديوم RA_{eq} باستخدام المعادلة (3).

466.5±0.14285	45.015±0.035243	57.771±0.093194	13
584.41±0.14284	65.317±0.034957	89.473±0.093613	14
473.54±0.14284	42.763±0.034873	62.21±0.092244	15
1283.74±0.05001	64.880±0.02345	110.122±0.06934	16
588.44±0.051072	48.379±0.025384	48.569±0.073708	17
559.23±0.051084	45.97±0.025528	76.142±0.070918	18
438.88±0.051177	59.687±0.02523	89.092±0.070635	19
873.63±0.051048	51.814±0.026323	143.49±0.06922	20
572.77±0.051048	55.718±0.025316	61.713±0.072394	21
510.2±0.051094	37.655±0.026205	66.31±0.07123	22
727.96±0.05103	51.059±0.025367	52.246±0.073161	23
447.19±0.051172	44.887±0.025675	73.274±0.071328	24
777.14±0.051016	41.7±0.026257	130.6±0.068967	25
473.76±0.051126	40.494±0.025684	51.663±0.072833	26
572.02±0.051086	46.115±0.025576	73.535±0.071247	27
988.45±0.05099	68.346±0.025123	91.54±0.070466	28
503.77±0.051172	45.48±0.026185	70.586±0.071948	29
720.04±0.051065	62.282±0.025318	139.9±0.069118	30

أ. تركيز النشاط الإشعاعي الطبيعي

من خلال الجدول (1) تبين النتائج المتحصل عليها أن تركيزات النشاط الإشعاعي لعناصر U^{238} و Th^{232} و K^{40} لعينات السيراميك والبورسلين الخاضعة للدراسة قد أظهرت تباين في القيم حيث نلاحظ أن: أقل قيمة لتركيز اليورانيوم U^{238} كانت تساوي ($48.569 Bq/Kg$) في العينة التاسعة سيراميكي جزائري المنشا (CW-9) ، بينما أعلى قيمة لتركيز اليورانيوم U^{238} كانت تساوي ($143.49 Bq/Kg$) في العينة عشرون سيراميكي جزائري المنشا (CW-20).



شكل رقم 3- يوضح تراكيز اليورانيوم في العينات.

أقل قيمة لتركيز Th^{232} كانت تساوي ($25.132 Bq/Kg$) في العينة الرابعة سيراميكي سعودي المنشا (CW-4)، بينما أعلى قيمة لتركيز Th^{232} كانت تساوي (93.426) في العينة الحادية عشر سيراميكي هندي المنشا (CW-11).

لقياس تركيز U^{238} في العينات ونظرًا للتسلسلي الترکیز الإشعاعی لكل من U^{238} و Ra^{222} عند حدوث الالتزان الإشعاعي تم حساب تركيز Ra^{222} من المعادلة (9) الذي يعادل تركيز النظير U^{238} . واستخدمت لذلك قمة 5.962% بشدة مقدارها $186.21 Kev$.

$$A(^{226}Ra) = \frac{C - B}{tI_{\gamma}m\varepsilon_i} \quad (9)$$

$C(E_i)$ صافي المعدودات تحت القمة الناتجة عن الطاقة ($186.21 Kev$)، $B(E_i)$ معدوداتخلفية الإشعاعية عند الطاقة ($186.21 Kev$)، t زمن جمع المعدودات، I_{γ} الشدة النسبية لأشعة جاما عند الطاقة ($186.21 Kev$)، m وزن العينة بوحدة Kg ، ε_i كفاءة الكاشف عند الطاقة ($186.21 Kev$) و η الشكل (3) يوضح تراكيز اليورانيوم في العينات.

ثانياً: قياس تركيز الثوريوم Th^{232}

لقياس تركيز Th^{232} تم حساب تركيز الأكتون Ac^{228} الذي يعادل تركيز Th^{232} بعد حدوث عملية الالتزان الإشعاعي بالعينة، باستخدام خط طاقة $911 Kev$ الذي تبلغ شدته النسبية 0.258% ، وذلك بحساب الفاعلية الإشعاعية لكل طاقة بالتعويض في المعادلة (10) :

$$A(^{228}Ac) = \frac{C - B}{tI_{\gamma}m\varepsilon_i} \quad (10)$$

$C(E_i)$ صافي المعدودات تحت القمة الناتجة عن الطاقة ($911 Kev$)، $B(E_i)$ معدوداتخلفية الإشعاعية عند الطاقة ($911 Kev$)، t زمن جمع المعدودات، I_{γ} الشدة النسبية لأشعة جاما عند الطاقة ($911 Kev$)، m وزن العينة بوحدة Kg ، ε_i كفاءة الكاشف عند الطاقة ($911 Kev$) ، والشكل (4) يوضح تراكيز الثوريوم في العينات.

ثالثاً: قياس تركيز البوتاسيوم K^{40}

لقياس تركيز K^{40} تم استخدام خط الطاقة والذي يبلغ $1460 Kev$ بشدة 10.55% وذلك بالتعويض في المعادلة (11) :

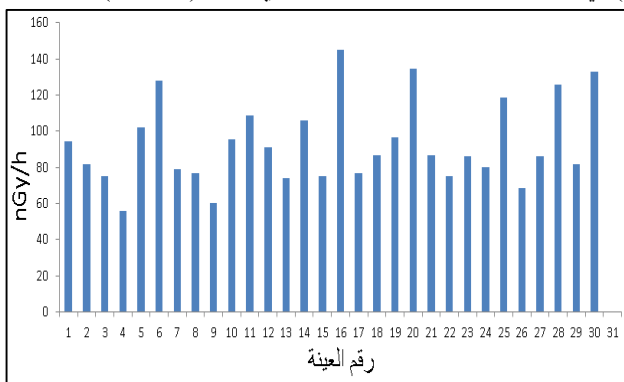
$$A(^{40}K) = \frac{C - B}{tI_{\gamma}m\varepsilon_i} \quad (11)$$

$C(E_i)$ صافي المعدودات تحت القمة الناتجة عن الطاقة ($1460 Kev$) . $B(E_i)$ معدوداتخلفية الإشعاعية عند الطاقة ($1460 Kev$). t زمن جمع المعدودات، I_{γ} الشدة النسبية لأشعة جاما عند الطاقة ($1460 Kev$) . m وزن العينة بوحدة Kg ، ε_i كفاءة الكاشف عند الطاقة ($1460 Kev$) ، والشكل (5) يوضح تراكيز البوتاسيوم في العينات.

جدول رقم 1- يوضح الفاعلية الإشعاعية في العينات من 1 إلى 30 بوحدة (Bq/Kg) .

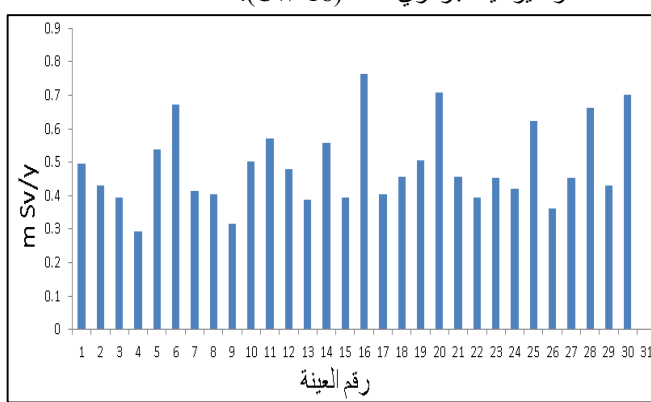
ر.م	K-40	Ac-228	Ra-226
1	263.91±0.077116	55.845±0.021051	70.586±0.029817
2	276.28 ±0.14294	66.741±0.034963	62.432±0.094662
3	555.56±0.014285	43.208±0.03564	54.688±0.094662
4	370.35±0.051194	25.132±0.027206	53.963±0.071936
5	414.113±0.054366	79.622±0.033888	77.213±0.073456
6	759.2±0.05424	79.921±0.033896	100.96±0.072378
7	470.24±0.014285	48.127±0.035629	64.107±0.092776
8	404.84±0.014287	47.183±0.034814	66.409±0.092257
9	500.48 ± 0.0156	36.610± 0.0685	34.181± 0.06632
10	684.35±0.051038	40.760±0.025765	91.145 ±0.06993
11	393.11±0.051296	93.426±0.024927	74.411±0.072762
12	251.40 ±0.14293	78.362±0.034406	69.349±0.092687

من الشكل (7) نلاحظ أن أقل قيمة لمعدل الجرعة الممتصة كانت تساوي 55.866669 nGy/h في العينة الرابعة سيراميك سعودي المنشا-CW-(4)، بينما أعلى قيمة لمعدل الجرعة الممتصة كانت تساوي 145.161 nGy/() في العينة السادسة عشر سيراميك جزائري المنشا(CW-16).



شكل رقم 7 - يوضح معدل الجرعة الممتصة في العينات.

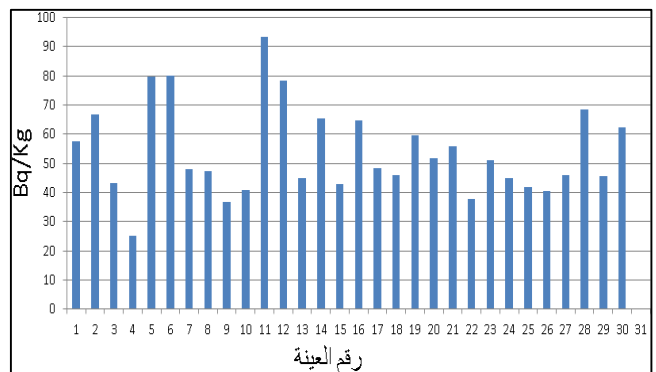
ج. الجرعة الفعالة السنوية من الشكل (8) نلاحظ أن أقل قيمة للجرعة السنوية كانت 0.29380125 mSv/y) في العينة الرابعة سيراميك سعودي المنشا(CW-4)، بينما أعلى قيمة كانت (0.763483536 mSv/y) في العينة السادسة عشر سيراميك جزائري المنشا(CW-16).



شكل رقم 8 - يوضح الجرعة الفعالة السنوية في العينات

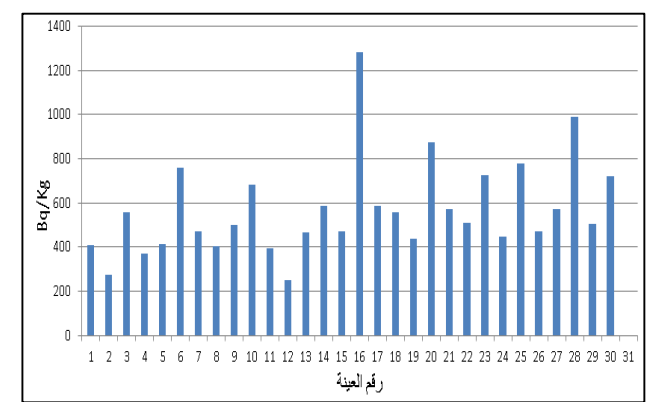
ب. مؤشر الخطير الخارجي

من الشكل (9) يتبيّن أن مؤشر الخطير الخارجي لجميع العينات كانت أقل من القيمة الموصي بها أي أقل من الواحد، حيث كانت أقل قيمة لمؤشر الخطير الخارجي تساوي (0.3199) في العينة الرابعة سيراميك سعودي المنشا(CW-4)، بينما أعلى قيمة لمؤشر الخطير الخارجي كانت تساوي (0.81496) في العينة السادسة عشر سيراميك جزائري المنشا(CW-16).



شكل رقم 4 - يوضح تركيز التوريوم في العينات.

أقل قيمة لتركيز ^{40}K كانت تساوي 251.4Bq/Kg في العينة الثانية عشر بورسلين إسباني المنشأ (SW-12)، بينما أعلى قيمة لتركيز ^{40}K كانت تساوي (1283.74Bq/Kg) في العينة السادسة عشر سيراميك جزائري المنشا(CW-16).

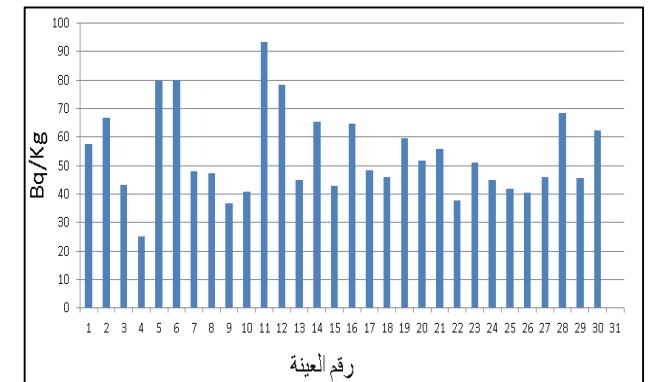


شكل رقم 5 - يوضح تركيز البوتاسيوم في العينات.

رابعاً: تقييم المخاطر الإشعاعية

أ. نشاط مكافئ الراديوم

من الشكل (6) يتبيّن أن أقل قيمة لفاعلية مكافئ الراديوم R_{aeq} كانت تساوي CW-(118.4187 Bq/Kg) في العينة الرابعة سيراميك سعودي المنشا(CW-4)، بينما أعلى قيمة لفاعلية مكافئ الراديوم R_{aeq} كانت تساوي (301.7276 Bq/Kg) في العينة السادسة عشر سيراميك جزائري المنشا(CW-16).



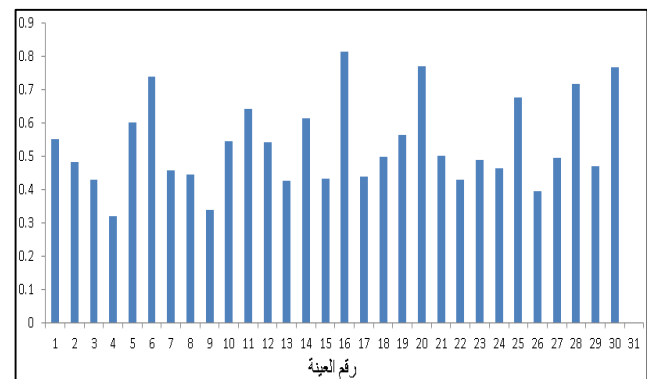
الشكل (6) يوضح نشاط مكافئ الراديوم في العينات.

ب. معدل الجرعة الممتصة

وزلتين، ويمكن استخدام هذه النتائج كقاعدة بيانات وذلك من أجل الدراسات التي قد تجري لاحقاً.

6. المراجع

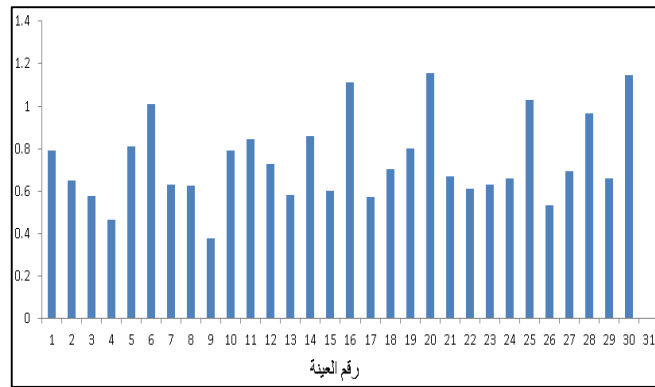
- [1] Farhan, A. O., Ahmed, A. M., & Farhan, S. S. (2022). Estimation of the Radioactive Elements in Raw Materials Utilized in the Ceramic Industry, Anbar, Western Iraq. *The Iraqi Geological Journal*, 113-120.
- [2] Ademola, J. A. (2009). Natural radioactivity and hazard assessment of imported ceramic tiles in Nigeria. *African Journal of Biomedical Research*, 12(3), 161-165.
- [3] Xinwei, L. (2004). Radioactivity level in Chinese building ceramic tile. *Radiation Protection Dosimetry*, 112(2), 323-327.
- [4] Uosif, M. A. M., Omer, M., Ali, N. A., El-Kamel, A. H., & Hefni, M. A. (2015). Radiological hazard resulting from using ceramic tile in Egypt. *Int. J. Adv. Sci. Technol.*, 80(19), 10-14257.
- [5] Abu Khadra, S. A., & Kamel, N. H. (2005). Natural Radioactivity in Ceramic Materials.
- [6] Viruthagiri, G., Rajamannan, B., & Suresh Jawahar, K. (2013). Radioactivity and associated radiation hazards in ceramic raw materials and end products. *Radiation protection dosimetry*, 157(3), 383-391.
- [7] Siddeeg, S. M., Suliman, M. A., Ben Rebah, F., Mnif, W., Ahmed, A. Y., & Salih, I. (2018). Comparative Study of Natural Radioactivity and Radiological Hazard Parameters of Various Imported Tiles Used for Decoration in Sudan. *Symmetry*, 10(12), 746.
- [8] Joel, E. S., Maxwell, O., Adewoyin, O. O., Ehi-Eromosele, C. O., Embong, Z., & Oyawoye, F. (2018). Assessment of natural radioactivity in various commercial tiles used for building purposes in Nigeria. *MethodsX*, 5, 8-19.
- [9] حسن، إسماعيل (1986). مقدمة في الفيزياء الحديثة. المملكة العربية السعودية: دار المريخ للنشر.
- [10] Shoqwa, F.H (2012). Measurement of Radon Exhalation from Building Materials Used in Nablus District, Palestine. Degree of Master, An-Najah National University.
- [11] Dizman, S. (2021). Investigation of natural radioactivity and associated radiological hazards in ceramic sanitary ware products commercially sold in Turkey. *International Journal of Environmental Analytical Chemistry*, 101(14), 2209-2219.
- [12] صالح، اسعد (1988). مقدمة في الفيزياء النووية. جامعة البصرة: دار الحكمة.
- [13] حميد، تغريد (2017). قياس النشاط الإشعاعي الطبيعي في نماذج سيراميك باستخدام كاشف الجermanium عالي التقارة. *JOURNAL*



شكل رقم 9- يوضح مؤشر الخطير الخارجي في العينات.

ج. مؤشر الخطير الداخلي

من الشكل (10) نلاحظ أن مؤشر الخطير الداخلي كان مرتفع قليلاً عن القيمة الموصى بها والتي هي أقل من الواحد في خمس عينات من بين ثلاثون وهذه العينات هي العينة السادسة، والعينة السادسة عشر، والعينة العشرون، والعينة الخامسة والعشرون، والعينة الثلاثون، حيث كانت أعلى قيمة لهذا المؤشر H_{in} هي (1.1573) في العينة العشرون وهي سيراميك جزائرى المنشأ (CW-20) بينما كانت أقل قيمة هي (0.37838) في العينة التاسعة من بين العينات الثلاثون سيراميك جزائرى المنشأ (CW-9).



شكل رقم 10- يوضح مؤشر الخطير الداخلي في العينات.

5. الخلاصة

أظهرت النتائج أن تركيز النشاط الإشعاعي الطبيعي لجميع عينات السيراميك والبورسلين التي تم فحصها في هذه الدراسة تقع ضمن القيم الموصى بها عالمياً. كما أظهرت النتائج أن قيم معدل الجرعة الممتصنة لجميع العينات كانت أعلى من القيمة الموصى بها عالمياً وباللغة (55 mGy/h) [15]. قيم معدل الجرعة الفعالة السنوية لجميع العينات المدروسة كانت أقل من القيمة الموصى بها وهي (1 mSv/y). قيم مؤشر الخطير الخارجي لجميع عينات السيراميك والبورسلين التي تم قياسها كانت أقل من الواحد ($H_{ex} < 1$) ، وعلى هذا الأساس يعبر السيراميك والبورسلين المستورد من بعض الدول بالإضافة إلى عينة السيراميك المحلي آمن للاستخدام كمواد بناء في المنازل والمراافق العامة. ونظراً لارتفاع قيمة مؤشر الخطير الداخلي لعينة بورسلين سعودي المنشأ، وكذلك بعض عينات السيراميك المستورد من الجزائر وتونس في هذه الدراسة، عليه ننصح باستخدام هذه المنتجات في الأماكن ذات تهوية جيدة أو في الأماكن المفتوحة. جميع عينات السيراميك والبورسلين المقاسة في هذه الدراسة لم يلاحظ فيها أي عناصر مشعة اصطناعية. النتائج المتحصل عليها هي قيم النشاط الإشعاعي الطبيعي الناتج من بعض عينات السيراميك والبورسلين المحلي والمستورد لمدن كل من صرمان، وطرابلس، والخمس،

جامعة المستنصرية، NO(1), COLLEGE OF EDUCATION ، 234-223 ، الجامعة
المستنصرية، العراق.

- [14] Amana, M. S. (2017). Radiation hazard index of common imported ceramic using for building materials in Iraq. *Aust. J. Basic. Appl. Sci*, 11(10), 94-102.
- [15] Rajamannan, B., Viruthagiri, G., & Suresh Jawahar, K. (2013). Natural radionuclides in ceramic building materials available in Cuddalore district, Tamil Nadu, India. *Radiation protection dosimetry*, 156(4), 531-534.